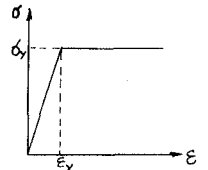


九州大学工学部 正員 山崎徳也

大学院 学生員 石川信隆

1. 序言 連続ばりの弾塑性座屈に関する研究は古く E. Chwalla⁽¹⁾ が偏心圧縮荷重を受ける場合の安定性を報告しており、最近では J. Oxford⁽²⁾ が K. Jezeck⁽³⁾ の単純支持ばりに対する厳密解を準用して横荷重と軸荷重を同時に受ける場合の座屈荷重値を求めているが、横荷重と軸荷重との比が一定であるという仮定が含まれている。本論文は前記仮定を排除して一定横荷重のもとに漸増軸荷重が作用する矩形等断面をもつ3径間連続ばりを対象とし、たわみ形を正弦曲線に仮定する近似解法⁽³⁾⁽⁴⁾を採用して計算の簡略化を試み、不静定ばりの弾塑性座屈挙動を解明せんとするものである。なお、本研究では次の仮定を用いる。

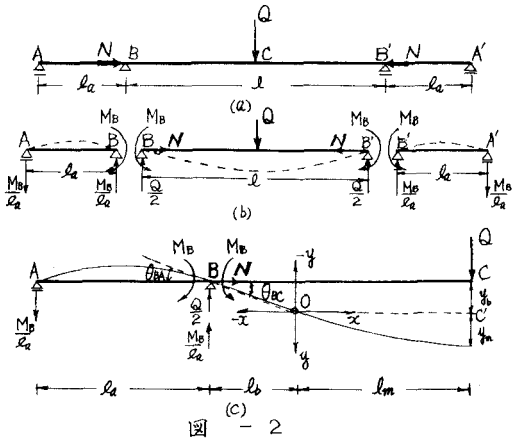
- (i) 応力-歪関係は図-1のごとく完全弾塑性とする。
- (ii) 平面保持の法則にしたがい微小曲率を取り扱う。



2. 理論的考察 図-2(a)のごとく中央径間に一定横荷重Qと漸増軸荷重Nが作用

する矩形等断面3径間対称連続ばりを考え、両側の側径間の拘束によって曲げと圧縮を受ける中央径間がいかに安定性を保ちうるかを以下に論ずる。

いま図-2(b)に示すごとく支点BおよびB'において切断すれば、中央径間BB'はQ, Nおよび曲げモーメントM_B, 側径間ABおよびB'A'はM_Bのみそれぞれ受ける単純支持ばりに変換でき、ここで単純支持ばりのBおよびB'端にそれぞれ作用する未知曲げモーメントM_Bは支点BおよびB'におけるたわみ角の連続条件θ_{BC}=θ_{BA}(図-2(c)参照)を満足するゆえ、まずθ_{BC}およびθ_{BA}を求めることとなる。



(1) 中央径間の支点Bにおけるたわみ角θ_{BC}の算定

図-2(b)のごとく中央径間では対称荷重によって対称のたわみ曲線が仮定されるゆえ、図-2(c)のごときたわみ曲線の変曲点すなわ曲げモーメント零点を原真Oとしてx, y座標を導入すれば、中央径間任意点の曲げモーメントMは次式で表わされる。

$$M = Ny + \frac{Q}{2}x \quad \dots \quad (1) \quad \text{ただし } N = b h \sigma, \sigma: \text{軸応力}, b, h: \text{断面の幅および高さ}$$

一方たわみyは正弦曲数を用うれば次のごとく示される。

$$y = y_m \sin \frac{\pi}{2l_m} x \quad \dots \quad (2) \quad \text{ただし } \begin{cases} y_m: OC \text{を基準としたC点のたわみ} \\ l_m: \text{曲げモーメント零点間の半スパン長} \end{cases}$$

(a) 限界軸応力の算定

一般に横荷重が作用している場合は中央点Cの応力が支点Bのそれよりも降伏状態に早く達するゆえ、C点の応力状態に基いて限界軸応力が決定されることとなる。まず式(2)よりC点の曲率φを求めれば次式がえられる。

$$\phi = \left(\frac{d^2 y}{dx^2} \right)_{x=l_m} = - \left(\frac{\pi}{2l_m} \right)^2 y_m \quad \dots \quad (3)$$

よってC点における弾塑性応力分布(図-3参照)から算出した曲率と式(3)とを等置すれば、たわみy_mと軸応力σとの関係式がえられる。C点の応力が弾性状態(図-3(a))にある場合はσに関する単調増加関数となり、φがσ

状態における限界軸応力は存在しないことが分るので、次に図-3(b)および(c)の第1および第2弾塑性状態となる場合の限界軸応力を求めることとなる。

(i) C稜の応力が第1弾塑性となる場合

図-3(b)の応力分布を用いて内力と外力の釣合より

$$N = \int_A \sigma dA, \quad M = \int_A \sigma t dA, \quad \phi = \frac{\sigma_y}{EI} \quad \dots (4)$$

上式を演算のうえC稜の曲率 ϕ_c を求めれば次式がえられる。

$$\phi_c = -\frac{8(\sigma_y - \sigma_0)^3}{9EI^2[(\sigma_y - \sigma_0) - 2M_c/bh^2]^2} \quad \dots (5) \quad \text{ただし } M_c = (M)_{x=y_m} = bh\sigma_y y_m + \frac{Q}{2} l_m$$

式(3)と式(5)とを等置すれば、 y_m と σ_c との関係が図-4のごとくえられ、これに $d\sigma_c/dy_m = 0$ を適用して y_m および限界軸応力 $\sigma_c = \max \sigma_0$ と曲げモーメント零位置の細長比 $\lambda_m = 2l_m/i$ ($i = h/\sqrt{12}$: 断面2次半径)との関係式を次のようにする。

$$y_m = \frac{h}{6S_c} \left(1 - S_c - \frac{2}{3}\right), \quad \lambda_m^2 = \frac{\pi^2 EI}{\sigma_y S_c} \left(\frac{1 - S_c - 2/3}{1 - S_c}\right)^3 \quad \dots (6)$$

ただし $S_c = \sigma_c/\sigma_y$, $q = Q/Q_y$,

$Q_y = 8M_y(3 + 2bh/l)/l(3 + 4bh/l)$: 横荷重のみによるC稜が降伏するときの荷重

M_y : 純曲げによる降伏曲げモーメント

ここで第1と第2弾塑性との境界条件より限界たわみが $y_I = h[(1/S_c - 1)(1 + 2S_c) - 2/3]/6$ と求められるゆえ、 y_m は $0 \leq y_m \leq y_I$ に規定され、これより式(6)中の S_c 値が次の範囲となる。

$$S_1 \leq S_c \leq S_2 \quad \text{ただし } S_1, S_2 = (1 \mp \sqrt{1 - 4q/3})/2 \quad \dots (7)$$

(ii) C稜の応力が第2弾塑性となる場合 同じく式(4)および図-3(c)を用いてC稜の曲率を求めれば

$$\phi_c = -\frac{\sigma_y}{EI\sqrt{3(1 - \sigma_c/\sigma_y)^2/4 - 3M_c/bh^2\sigma_y}} \quad \dots (8)$$

式(3)と式(8)とを等置したうえ $d\sigma_c/dy_m = 0$ を適用すれば次式の結果がえられる。

$$y_m = \frac{h}{6S_c} \left(1 - S_c^2 - \frac{2q}{3}\right), \quad \lambda_m^2 = \frac{\pi^2 EI}{\sigma_y S_c} \sqrt{(1 - S_c^2 - \frac{2q}{3})^3} \quad \dots (9)$$

ここで、完全塑性条件より限界たわみは $y_{II} = h(1 - S_c^2 - 2q/3)/4S_c$ とせられ、 $y_I \leq y_m \leq y_{II}$ となるゆえ

式(9)の S_c は次の範囲となる。 $S_2 \leq S_c \leq S_3 = \sqrt{1 - 2q/3}$

以上の式(6)および式(9)より荷重 Q および細長比 λ_m を与えて限界軸応力 σ_c を直接算定することはかなりの困難を伴うゆえ、逆に Q および σ_c を与えて λ_m を算出する手法を採用する。

(b) たわみ角 θ_{bc} の算定

まず支えBの曲げモーメント M_B 、たわみ角 θ_{bc} および曲率 ϕ_B は式(1)および式(2)よりそれぞれ次のごとく表わされる。

$$M_B = -(M)_{x=l_b} = bh\sigma_0 y_b + \frac{Q}{2} l_b = bh\sigma_0 y_m \sin\left(\frac{\pi l_b}{2l_m}\right) + \frac{Q}{2} l_b \quad \dots (10)$$

ただし $y_b = -(y)_{x=l_b} = y_m \sin\left(\frac{\pi l_b}{2l_m}\right)$, $l_b = l - l_m$: 原長 l より支えBまでの距離

$$\theta_{bc} = \left(\frac{dy}{dx}\right)_{x=l_b} = \frac{\pi}{2l_m} y_m \cos\left(\frac{\pi l_b}{2l_m}\right), \quad \phi_B = \left(\frac{d^2y}{dx^2}\right)_{x=l_b} = \left(\frac{\pi l_b}{2l_m}\right)^2 y_m \sin\left(\frac{\pi l_b}{2l_m}\right) \quad \dots (11)$$

次に2.(1).(a)でえた y_m , $\lambda_m (= 2l_m/i)$ の各値を式(10)に代入すれば M_B 値がえられ、その大ききより支えBの応力状態を図-3(a), (b), (c)のいずれかに判別決定し、このときのたわみ角 θ_{bc} を式(11)を用い次の3つの場合についてそれぞれ求める。

(i) B稜の応力が弾性となる場合 ($0 \leq m_B < m_I$, ただし $m_B = M_B/M_y$, $m_I = 1 - S_c$: 弾性限界曲げモーメント)

B稜の断面における弾性応力分布(図-3(a))より算出した曲率 $\phi_B = M_B/EI$ と式(11)の ϕ_B とを等置すれば次式がえられる。

$$\frac{M_B}{M_y} = m_B = \left(\frac{E}{\sigma_y}\right) \left(\frac{h}{2}\right) \left(\frac{\pi}{2l_m}\right)^2 y_m \sin\left(\frac{\pi l_b}{2l_m}\right) \quad \dots (12)$$

式(11)および式(12)より l_b を消去して θ_{bc} を求めれば次式をうる。

$$\theta_{bc} = \frac{\pi}{2l_m} y_m \sqrt{1 - A^2} \quad \dots (13) \quad \text{ただし } A = \frac{m_B}{\left(\frac{E}{\sigma_y}\right) \cdot \left(\frac{h}{2}\right) \cdot \left(\frac{\pi}{2l_m}\right)^2 y_m}$$

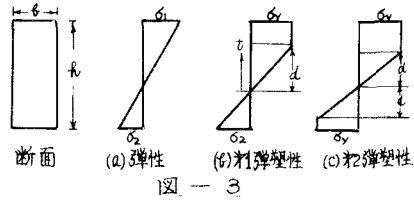


図-3

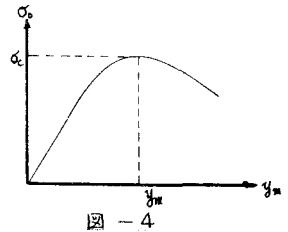


図-4

(ii) B 戻の応力が第 1 弾塑性性となる場合 ($m_i \leq m_B < m_{II}$, $m_{II} = (1+2S_c)(1-S_c)$: 第 1 と第 2 弾塑性性との限界曲げモーメント) 同様に図-3(b)より算出した曲率 ϕ_B は式(5)の M_C を M_B に置換したものと一致し, これと式(11)の θ_B とを等置すれば M_B は l_b の関数として次のごとく表示される。

$$\frac{8(1-S_c)^3}{q(E/\sigma_y)h(1-S_c-m_B/3)^2} = \left(\frac{\pi}{2l_m}\right)^2 y_m \sin\left(\frac{\pi l_b}{2l_m}\right) \dots \dots (14)$$

式(14)より l_b を求め, 式(11)の第 1 式に代入すれば θ_{BC} が次式にて求められる。

$$\theta_{BC} = \frac{\pi}{2l_m} y_m \sqrt{1-B^2} \dots (15) \text{ ただし } B = \frac{8(1-S_c)^3}{q(E/\sigma_y)h(\pi/2l_m)^2 y_m (1-S_c-m_B/3)^2}$$

(iii) B 戻の応力が第 2 弾塑性性となる場合 ($m_{II} \leq m_B < m_{III}$, $m_{III} = 1.5(1-S_c^2)$: 塑性曲げモーメント)

上記(i), (ii) の場合と同じく結果のみ記せば次式をうる。

$$\theta_{BC} = \frac{\pi}{2l_m} y_m \sqrt{1-C^2} \dots (16) \text{ ただし } C = \frac{\sigma_y}{Eh(\pi/2l_m)^2 y_m \sqrt{3(1-S_c^2)/4 - m_B/2}}$$

ここに式(13), (15), (16)の θ_{BC} はいずれも M_B の関数で示されることとなり, これら式中の l_m および y_m の値は B 戻の応力が C 戻のそれよりも常に降伏が遅くなることを考慮して表-1 に示す使用区分に仕がって用いることとなる。

C 戻の応力状態	B 戻の応力状態
第 1 弾塑性性: 式(6)	弾 性: 式(3)
	第 1 弾塑性性: 式(5)
第 2 弾塑性性: 式(8)	第 2 弾塑性性: 式(6)

表-1 l_m および y_m の使用区分

(2) 側径間の支戻 B におけるたわみ角 θ_{BA} の算定

側径間 AB には図-5 のごとく軸荷重が作用していないゆえ, 曲げモーメントのみを考慮した弾性および弾塑性性の応力状態を考えればよく, 曲率 ϕ は次式で与えられる。

$$\left. \begin{aligned} \text{弾性: } \phi &= \frac{M}{EI} \\ \text{弾塑性性: } \phi &= \frac{M_y}{EI} \frac{1}{\sqrt{3-2M/M_y}} \end{aligned} \right\} (17) \text{ ただし } M = \frac{M_0 x}{l_e}$$

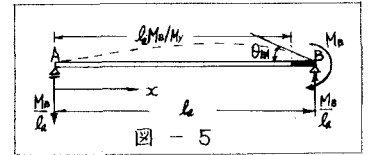


図-5

よって B 戻のたわみ角 θ_{BA} は $\theta_{BA} = \frac{1}{l_e} \int_0^{l_e} \phi x dx$ で表わされるゆえ, これに式(17)を代入して B 戻の応力状態に応じて求めれば次のごとくなる。

(a) B 戻の応力が弾性的の場合 ($0 \leq m_B < 1$)

$$\theta_{BA} = \frac{1}{l_e} \int_0^{l_e} \frac{M}{EI} x dx = \frac{M_0 l_e}{3EI} = \frac{l_e}{i} m_B \frac{\sigma_y}{E\sqrt{27}} \dots \dots (18)$$

(b) B 戻の応力が弾塑性性的の場合 ($1 \leq m_B < 1.5$)

$$\theta_{BA} = \frac{1}{l_e} \int_0^{l_e/m_B} \frac{M}{EI} x dx + \frac{1}{l_e} \int_{l_e/m_B}^{l_e} \frac{M_y}{EI} \frac{x dx}{\sqrt{3-2M/M_y}} = \frac{l_e}{i} \frac{\sigma_y}{E\sqrt{27}} \frac{1}{m_B} \left[\frac{5}{m_B} - \left(1 + \frac{3}{m_B}\right) \sqrt{3-2m_B} \right] \dots (19)$$

3. 解法

2. (1) および (2) で導いた $\theta_{BC}-M_B$ および $\theta_{BA}-M_B$ 曲線を同一軸上に示せば図-6 のごとくなり, 両曲線の交差は 2. で述べたたわみ角の連続条件を満足し, これが M_B の決定条件式となる。

$$\text{すなわち, } \theta_{BC} = \theta_{BA} \dots (20)$$

しかるに θ_{BC} 曲線は 横荷重 Q , 軸応力 σ および 中央径間の

細長比 $\lambda (= 2l/i)$ の値に対し, $\lambda/2 \leq \lambda_m \leq \max. \lambda_m$ の範囲で図-6 のごとく上に凸となる。

一方 θ_{BA} 曲線は 側径間の細長比 (l_e/i) の値によって 3 本の曲線 (1), (2), (3) に分類される。

θ_{BA} 曲線 (1) は θ_{BC} 曲線と A および B 戻で交わるが, a, b 両戻において θ_B を僅かに増加 ($\delta\theta_B$) させると, θ_{BC} 曲

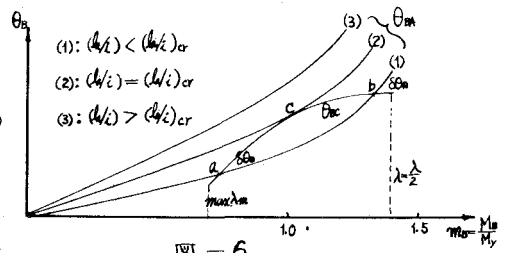
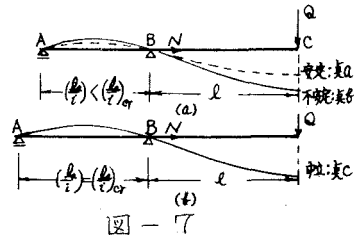


図-6

線の釣合の持続に必要な M_0 値が、 θ_{BA} 曲線に沿って点 a では増大、
 点 b では減少するゆえ、 a, b 両方はそれぞれ図-7(a)の実線および
 実線に示すごとく安定および不安定な釣合状態を与えることとなり、
 限界条件を示すものではない。



次に θ_{BA} 曲線(2)は θ_{BC} 曲線と点 C で接し、釣合位置を僅かに
 変化させても M_0 は殆んど変わらず、中央径間の釣合を保つに必要な
 拘束曲げモーメントが作用しており、このとき点 C は図-7(b)のごとく中立な釣合状態を与え、これが限
 界条件を形成し次式を成立させる。

$$\frac{d\theta_{BC}}{dM_0} = \frac{d\theta_{BA}}{dM_0} \quad \dots \quad (21)$$

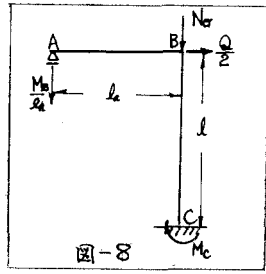
また θ_{BA} 曲線(3)は θ_{BC} 曲線と交わる可能性は全くなく式(20)を満足せず考察の対象とはならない。
 したがって式(20)と式(21)を同時に満足するごとく曲げモーメント M_0 および側径間の限界細長比 $(l_a/l)_cr$ を
 決定せねばならず、まず式(13), (15), (16)および式(18), (19)を併用のうえ式(20)および式(21)より (l_a/l) を消
 去して M_0 のみの関数とし、これにNewton法を適用して逐次近似により M_0 を求め、これを式(20)または式(21)
 に含まれる M_0 に代入すれば $(l_a/l)_cr$ が求まりこれが $(l_a/l)_cr$ を与えることとなる。

4. 数値計算例

SS41($\sigma_y = 3.2 \text{ t/cm}^2$)の鋼材に対し横荷重 $Q = 0.3Q_y$ および中央径間の細長比 $\lambda = 150$ のとき、限界軸心
 力 $\sigma_c = 0.4\sigma_y$ を与えれば式(6)より $y_m = 0.2083h$ 、 $\lambda_m = 46.80$ がえられ、これを用いて式(13), (15)および
 式(18), (19)を併用のうえ式(20)および式(21)より M_0 を求めれば $M_0 = 0.6689M_y$ の収斂値をえ、これより側径
 間の限界細長比が $(l_a/l)_cr = 82.61$ と算出される。

5. 結語

厳密解法⁽²⁾のごとく弾塑性境界におけるたわみとたわみ角との連続条件より逐次
 積分定数を決定する複雑さに比べ、本法ではたわみ形を仮定することにより演算が
 遙かに簡易化された。また横荷重 Q を一定とし、中央径間の細長比 λ と側径間の細
 長比 (l_a/l) との関係を限界軸心力 σ_c をパラメータとして図表化しておけば、本題の
 連続はりとは勿論のこと図-8に示すごとくラーメンなどの座圧荷重値の算定にも役立
 ち実用効果も大きいといえる。本研究は文部省科学研究費の補助を受けた、附記して謝意を表する。



(参考文献)

(1) E. Chwalla: Aupermittig gedrückte Baustahlstäbe mit elastisch eingespannten Enden und verschieden
 großen Angriffshebeln, Der Stahlbau, vol.10, 1937
 (2) J. Oxford: Über die Begrenzung der Traglast eines statisch unbestimmten biegesteifen Stabwerkes
 aus Baustahl durch das Instabilwerden des Gleichgewichtes, Der Stahlbau, vol.30, 1961
 (3) K. Jezeck: Die Festigkeit von Druckstäben aus Stahl, Julius Springer Verlag Wien, 1937
 K. Jezeck: Näherungsberechnung der Tragkraft exzentrisch gedrückter Stahlstäbe,
 Der Stahlbau, vol.8, 1935
 (4) 山崎・遠水: 横荷重を受ける部材に対する近似解法, 第21回年次学術講演会講演摘要, 昭和44年5月